

胡敏酸吸附重金属 Cu²⁺ Pb²⁺ Cd²⁺的特征及影响因素

朱丽珺¹, 张金池², 俞元春², 宰德欣¹, 池杏微¹, 孙慧宇², 胡书燕²

(1.南京林业大学理学院, 江苏 南京 210037; 2.南京林业大学森林资源与环境学院, 江苏 南京 210037)

摘要:采用碱溶酸沉淀法提取腐殖质中的胡敏酸,研究了胡敏酸对 Cu²⁺、Pb²⁺、Cd²⁺的吸附特征及作用机理。结果表明,在相同初始浓度下,胡敏酸对 Cu²⁺的吸附强度要大于对 Pb²⁺和对 Cd²⁺的吸附。吸附强度顺序为 Cu²⁺>Pb²⁺>>Cd²⁺。Langmuir、Freundlich 和 Temkin 方程对 Pb²⁺、Cd²⁺的吸附呈显著关系,但其中 Freundlich 方程为最佳拟合方程;对 Cu²⁺的吸附,Langmuir 等温式拟合程度最高, Freundlich 方程其次,Temkin 方程则不适合。pH 是影响胡敏酸对 Cd²⁺和 Cu²⁺吸附的主要因素,而对 Pb²⁺吸附的影响较小。总体上低 pH 值均不利于吸附剂对重金属离子的吸附,随着 pH 值的增加(pH=2~8),不论吸附量还是吸附率都呈上升趋势。通过红外光谱表征反应物,结果表明,胡敏酸与 Pb²⁺、Cd²⁺的结合点主要发生在羧基和酚羟基之间,而 Cu²⁺与胡敏酸的结合除了在羧基和酚羟基之外,更多地发生在羧基和羧基之间。

关键词:胡敏酸;Cu²⁺;Pb²⁺;Cd²⁺;吸附;影响因素;红外光谱

中图分类号:X131.3 **文献标识码:**A **文章编号:**1672-2043(2008)06-2240-06

Characteristics and Affecting Factors of Humic Acid Adsorbing Heavy Metals Cu²⁺ Pb²⁺ Cd²⁺

ZHU Li-jun¹, ZHANG Jin-chi², YU Yuan-chun², ZAI De-xin¹, CHI Xing-wei¹, SUN Hui-yu², HU Shu-yan²

(1.Science College, Nanjing Forest University, Nanjing 210037, China; 2.Forest Resources and Environment College, Nanjing Forest University, Nanjing 210037, China)

Abstract:The adsorptive behavior of Cu²⁺, Pb²⁺, Cd²⁺ onto humic acid which extracted by alkali dissolution-acid deposition was investigated. Adsorption capacity of Cu²⁺ by humic acid was higher than Pb²⁺ and Cd²⁺ at the same initial concentration. The order of adsorption capacity was as follows: Cu²⁺>Pb²⁺>>Cd²⁺. Equilibrium data of Langmuir, Freundlich and Temkin isotherms showed significant relationship to the adsorption of Pb²⁺、Cd²⁺, and the Freundlich isotherm fitted best(Pb²⁺:R²=0.994 9, Cd²⁺:R²=0.973 6). Langmuir isotherm was best for Cu²⁺ (R²=0.998 4), then Freundlich isotherm, but Temkin isotherm did not fit very well. pH value was the main factor affecting adsorption of Cu²⁺ and Cd²⁺, but less effect of Pb²⁺. As a whole, at low pH value humic acid went against the adsorption of Cu²⁺, Pb²⁺, Cd²⁺. Along with the increase in pH(pH=2~8), both adsorption and adsorption rate were all rise. Characterization through the infrared spectrum of responses, the results showed that the link point of humic acid and Pb²⁺, Cd²⁺ mainly in between phenolic hydroxyl group and carboxyl of aromatic ring. Humic acid and Cu²⁺ in addition to combination between phenolic hydroxyl group and carboxyl, more link between carboxyl and carboxyl of aromatic ring.

Keywords:humic acid; Cu²⁺; Pb²⁺; Cd²⁺; adsorption; affecting factors; infra red spectra

腐殖质是广泛存在于土壤介质中的高分子有机物,根据酸碱溶解性可分离出胡敏酸和富里酸^[1-2]。腐殖质能与金属离子、氧化物、氢氧化物、矿物质和包括

收稿日期:2008-05-02

基金项目:江苏省重点自然科学基金(BK2001208);江苏省高校自然科学基金(04KJD610093);南京市科技发展资助项目(20012

117);江苏省社会发展项目(BS2007064)

作者简介:朱丽珺(1960—),上海市人,博士,副教授,从事环境化学方面的研究。E-mail:nfuzlj@sina.com

毒性污染物在内的各种有机物发生作用^[3-8],形成溶于水和不溶于水的化合物,从而影响它们在土壤环境中的迁移、转化和生物可得性及毒性。胡敏酸作为腐殖质的主要成分之一,具有较高的活性,与重金属有较强的吸附作用^[9-11]。本文即从腐殖质中提取胡敏酸,研究胡敏酸对重金属 Cu²⁺、Pb²⁺、Cd²⁺的吸附特征以及 pH 对吸附的影响,并用红外进行表征^[12-13],探讨胡敏酸对重金属的吸附机理及它们之间的相互作用,为研究重金属在土壤环境中的化学行为提供依据。

1 材料与方法

1.1 胡敏酸的提取与纯化

取山西灵石县两渡灵峰化工厂提供的腐殖质 1.00 g 于离心瓶中,用 0.1 mol·L⁻¹NaOH 提取腐植酸后,再用 1:1 的 HCl 调节 pH 为 1.0 左右分离出 FA(富里酸,橙色上清液)和 HA(胡敏酸,沉淀),将沉淀参照文启孝的方法^[1]反复溶解离心后得到胡敏酸并纯化,真空干燥。提纯后 HA 的总酸度 5.18 mmol·g⁻¹,羧基酸度 3.11 mmol·g⁻¹,酚羟基酸度 2.08 mmol·g⁻¹,E₆ 为 3.27^[14]。

1.2 胡敏酸与重金属离子等温吸附

1.2.1 胡敏酸与 Pb²⁺的等温吸附作用

称取 0.5 gHA 样品 12 份于 50 mL 离心瓶中,以 0.01 mol·L⁻¹KCl 作支持电解质,向其中加入一定量的 PbCl₂ 标准溶液,使 Pb²⁺浓度分别为 50、150、250、350、450、500、550、600、700、800、900、1 000 mg·L⁻¹,并控制溶液最终体积为 30 mL。试样在恒温(25 ℃)下振荡 24 h,离心(3 000 r·min⁻¹)分离并过滤,沉淀在真空干燥箱中干燥,将固体样品用溴化钾压片法进行红外分析,上清液用 Agelent3510 原子吸收分光光度计测定 Pb²⁺平衡浓度。

1.2.2 胡敏酸与 Cd²⁺的等温吸附作用

称取 0.1 gHA 样品 8 份于 50 mL 离心瓶中,0.01 mol·L⁻¹KCl 作支持电解质,加入一定量的 CdCl₂ 标准溶液,使 Cd²⁺浓度分别为 20、40、60、80、100、120、140、160 mg·L⁻¹,控制溶液最终体积为 30 mL。其余操作同 1.2.1。

1.2.3 胡敏酸与 Cu²⁺的等温吸附作用

称取 0.5 gHA 样品 10 份于 50 mL 离心瓶中,0.01 mol·L⁻¹KCl 作支持电解质,加入一定量的 CuCl₂ 标准溶液,使 Cu²⁺浓度分别为 50、350、400、450、500、600、700、800、900、1 000 mg·L⁻¹,控制溶液最终体积为 30 mL。其余操作同 1.2.1。

1.3 pH 对胡敏酸吸附重金属离子的影响

称取一定量 HA 样品于 50 mL 塑料离心管中,以 0.01 mol·L⁻¹KCl 作支持电解质,加入一定量 PbCl₂、CdCl₂、CuCl₂ 标准溶液,控制 Pb²⁺溶液 50 mg·L⁻¹,Cd²⁺溶液 20 mg·L⁻¹,Cu²⁺溶液 300 mg·L⁻¹。PbCl₂、CdCl₂、CuCl₂ 标准溶液的 pH 值分别为 6.5 和 3.5,出现氢氧化物沉淀的 pH 值分别为 8、10 和 10.5,因此本实验用 KOH 或 HCl 调节各溶液的 pH 值于 2~8 均匀分布。试样在恒温(25 ℃)下振荡 24 h,离心(3 000 r·min⁻¹)分离并过滤,取上清液用 Agelent3510 原子吸收

分光光度计测定相应离子平衡浓度。

2 结果讨论

2.1 胡敏酸与重金属离子等温吸附线

胡敏酸与重金属离子的等温吸附线见图 1。由图可见,胡敏酸对铅的吸附与 Pb²⁺浓度有良好的相关性,Pb²⁺浓度较低时,等温吸附曲线的斜率较大,曲线上升速度快,表明吸附量随 Pb²⁺浓度增加较快。当 Pb²⁺的平衡浓度在 0~200 mg·L⁻¹ 之间时,胡敏酸对 Pb²⁺的吸附量急剧增加;Pb²⁺平衡浓度为 200~600 mg·L⁻¹ 之间时,吸附量增加速度缓慢;而在平衡浓度为 600~800 mg·L⁻¹ 时,0.5 g 的胡敏酸对 Pb²⁺的吸附量基本接近饱和,单位吸附量在 19.0 mg·g⁻¹ 左右。另外,从吸附率也反映了这点,在 Pb²⁺的平衡浓度较低时,胡敏酸对 Pb²⁺的吸附率几乎达到 100%,随着平衡浓度的增大,吸附率逐渐降低,直至在实验浓度范围内保持在 30% 左右。

胡敏酸对镉的吸附与 Cd²⁺浓度的相关性则较弱,胡敏酸对镉的吸附量随 Cd²⁺浓度的增加略有增加,且曲线的变化较为平缓。在 Cd²⁺平衡浓度约为 80 mg·L⁻¹ 时,0.1 g 的胡敏酸对 Cd²⁺的吸附量基本接近饱和,平衡浓度再增加,单位吸附量基本维持在 7.0 mg·g⁻¹ 左右。胡敏酸对 Cd²⁺的吸附率也是一个平缓下降的过程,在 Cd²⁺平衡浓度较低(20~60 mg·L⁻¹)时,吸附率下降稍快,从 83.8% 下降到 36.4%,但以后随着 Cd²⁺平衡浓度的增加,吸附率下降速度缓慢,Cd²⁺平衡浓度为 160 mg·L⁻¹ 时,吸附率为 15.5%。

胡敏酸对铜的吸附与 Cu²⁺浓度也有良好的相关性。胡敏酸对铜的吸附量随 Cu²⁺浓度的增加而增加。Cu²⁺浓度较低时,吸附等温线的斜率较大,曲线急剧上升,表明吸附量随浓度的升高增加较快,而随着 Cu²⁺平衡浓度的增大,曲线逐渐变得平缓,吸附接近饱和。这与胡敏酸对铅的吸附有点相似。在吸附量先快速后缓慢增加的同时,吸附率一直在持续逐渐降低,从最初的 75% 一直降到 30%(Cu²⁺初始浓度为 1 000 mg·L⁻¹)。在 Cu²⁺初始浓度 700 mg·L⁻¹,平衡浓度为 383.7 mg·L⁻¹ 时,胡敏酸对 Cu²⁺的吸附率达到 45.2%,此时的吸附量达到 18.98 mg·g⁻¹,已接近饱和值。从这个角度讲,胡敏酸对铜的吸附是相当强且稳定的。

实验数据采用 Freundlich 吸附模型 ($\lg G = n \lg C + lg k$)、Langmuir 吸附模型 ($1/G = 1/G_0 + (A/G_0) \times (1/C)$) 和 Temkin 吸附模型 ($G = \alpha + K \lg C$) 拟合,结果见表 1。

由表可见,Langmuir、Freundlich 和 Temkin 方程

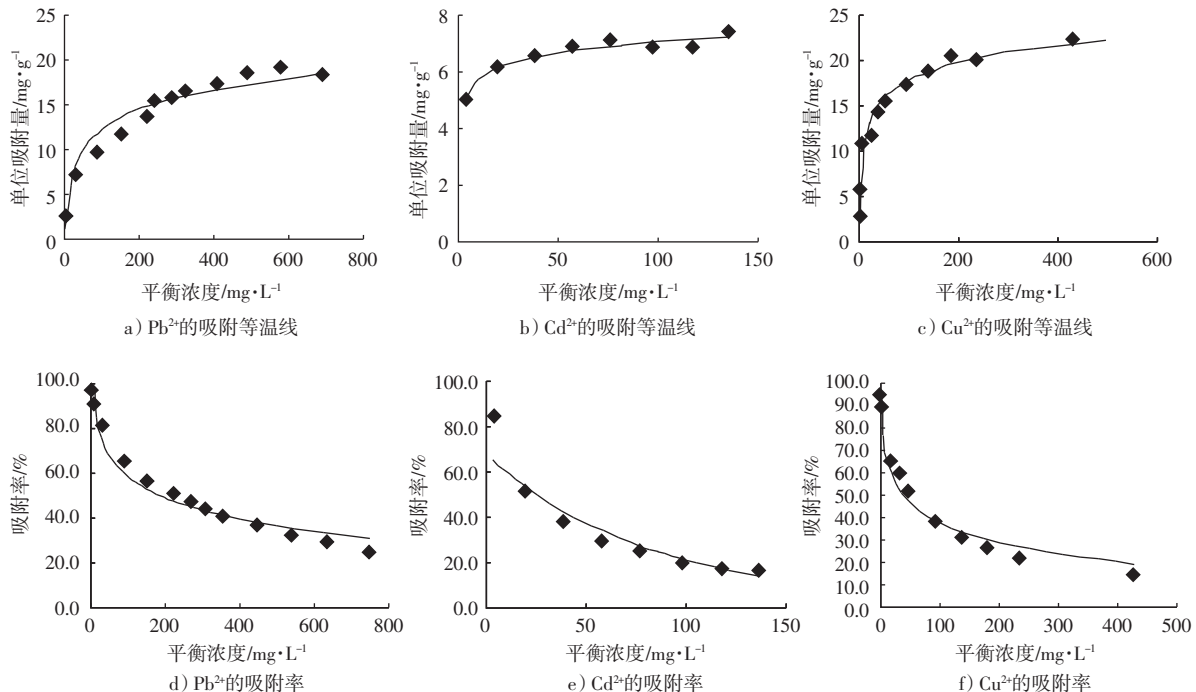


图 1 胡敏酸与重金属离子等温吸附线和吸附率

Figure 1 Adsorption isothermal and adsorption rate of heavy metal by humic acid

表 1 重金属离子吸附等温式与相关系数

Table 1 Isotherm equation and related coefficient for adsorption of heavy metal

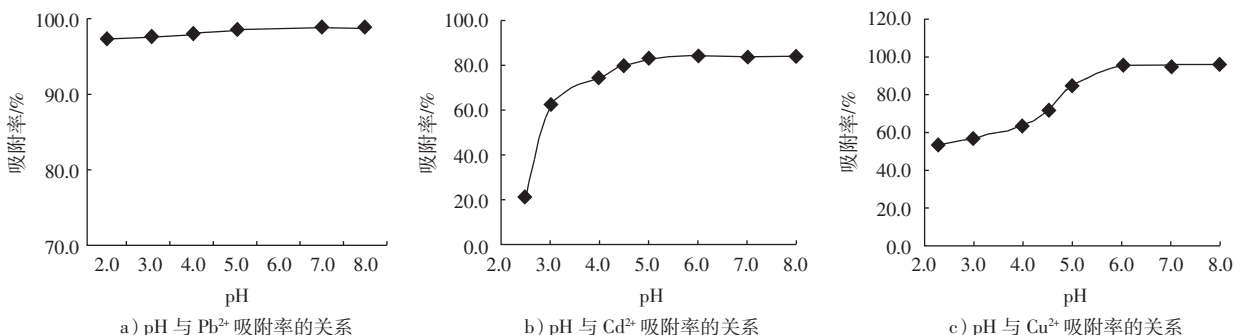
	Freundlich 吸附模型		Langmuir 吸附模型		Temkin 吸附模型	
	回归方程	相关系数	回归方程	相关系数	回归方程	相关系数
Pb	$y=0.355 \ln x+0.3093$	$R^2=0.9949$	$y=0.843 \ln x+0.0714$	$R^2=0.9782$	$y=7.334 \ln x-2.3763$	$R^2=0.9405$
Cd	$y=0.0958x+0.6594$	$R^2=0.9736$	$y=0.1878x+0.1429$	$R^2=0.9567$	$y=1.3173x+4.4088$	$R^2=0.9526$
Cu	$y=0.5087x+0.1059$	$R^2=0.9237$	$y=5.1069x+0.0407$	$R^2=0.9984$	$y=5.8853x+2.0734$	$R^2=0.7923$

对 Pb²⁺、Cd²⁺ 的吸附呈显著关系,但其中 Freundlich 方程为最佳拟合方程。胡敏酸对 Cu²⁺ 的吸附用 Langmuir 模型拟合效果更佳。这与相关文献报道相似^[6,8]。

2.2 pH 对胡敏酸吸附重金属离子的影响

不同 pH 条件下胡敏酸对重金属离子的吸附率

见图 2。由图可见,pH 对胡敏酸与 Pb²⁺ 吸附的影响较小。可以说,胡敏酸对 Pb²⁺ 的吸附与 pH 值的大小几乎没有关系。在本实验的研究范围内,吸附率都在 97% 以上,且变化不大,说明胡敏酸对 Pb²⁺ 的吸附相当强烈,并接近饱和。

图 2 不同 pH 条件下胡敏酸对 Pb²⁺、Cd²⁺、Cu²⁺ 吸附率Figure 2 Adsorption rate on Pb²⁺, Cd²⁺, Cu²⁺ by humic acid at different pH values

胡敏酸与 Cu^{2+} 和 Cd^{2+} 的吸附随 pH 值的增大都显增大趋势，并且胡敏酸对 Cu^{2+} 的吸附受 pH 的影响更大些。pH 值对 Cd^{2+} 的影响以 pH=4.0 为分界点，在 pH=2.0~4.0 的酸性溶液中，由于 H^+ 的竞争作用，胡敏酸对 Cd^{2+} 的吸附量较小，起始吸附率只有 20.5%，但随 pH 值增加上升较快；在 pH>4 阶段，胡敏酸对 Cd^{2+} 的吸附率已有 74.0% 以上，但随 pH 值的变化较小，在 pH=5 左右，吸附率达到 82.5%，并趋于稳定。

胡敏酸对 Cu^{2+} 的吸附趋势以 pH=6 为分界点。当 pH 值等于 2.3~6 时，胡敏酸对 Cu^{2+} 吸附率随 pH 值的增加急剧上升，当 pH 值为 6~8 时，吸附率达到 96% 左右且维持稳定。起始 pH 值是影响胡敏酸对 Cu^{2+} 吸附的主要因素，快速增长的 pH 值范围大致位于 4.0~6.0 之间，此阶段胡敏酸对 Cu^{2+} 的吸附率从 63.2% 上升到 95.5%；pH<4.0 时，胡敏酸对 Cu^{2+} 的吸附率增长缓慢（53.2%~63.2%）；当 pH 值>6.0 时， Cu^{2+} 的吸附量又略有增加，但已经接近饱和值。因此，pH 值对胡敏酸吸附 Cu^{2+} 的影响曲线呈 S 型。

溶液中 H^+ 的浓度对胡敏酸吸附 Pb^{2+} 的影响很弱，这可能是由于胡敏酸与 Pb^{2+} 发生了配位和螯合反应。胡敏酸对 Pb^{2+} 吸附的红外光谱图也表明 Pb^{2+} 主要是与胡敏酸中的羟基结合，这说明即使在 pH 很低的情况下，胡敏酸中的羟基仍能与 Pb^{2+} 进行络合，胡敏酸与 Pb^{2+} 的吸附主要以专属吸附为主。

pH 值是影响胡敏酸对 Cu^{2+} 、 Cd^{2+} 吸附的主要因素。原因可能是，在较低的 pH 值下，胡敏酸颗粒表面更多地吸附了 H^+ ，占据了 Cu^{2+} 、 Cd^{2+} 的吸附位，表面负电荷减少，大大降低了胡敏酸与 Cu^{2+} 、 Cd^{2+} 的结合能力。胡敏酸对 Cu^{2+} 、 Cd^{2+} 的吸附红外光谱图也从另一角度证实了上述规律。从红外图可知，胡敏酸吸附 Cd^{2+} 主要是胡敏酸中含有的羧基与 Cd^{2+} 发生络合反应，胡敏酸与 Cu^{2+} 的作用主要发生在胡敏酸含有的羧基和羟基上。在低 pH 值时，胡敏酸中含有的羧基已被 H^+ 占据，因而使得胡敏酸吸附 Cu^{2+} 、 Cd^{2+} 的能力降低，随着 pH 的增加，胡敏酸颗粒表面吸附的 H^+ 被释放，更有羧基和酚羟基上的 H^+ 被解离，使胡敏酸上的负电荷增加，吸附点位增多，因此吸附率大幅度上升。对 Cu^{2+} 而言，在 pH>6.0 的弱酸性到弱碱性条件下，胡敏酸对 Cu^{2+} 的吸附量又略有增加，这也可能是 Cu^{2+} 在弱酸性特别是弱碱性介质中易发生水解而形成 $\text{Cu}(\text{OH})^+$ ，水解产物的亲和力比 Cu^{2+} 更大，导致了吸附量增大。

2.3 胡敏酸与重金属作用的红外图谱

实验所得红外光谱图用 VERTEX 70 型红外光谱

仪测定，所有谱图经去 H_2O 和去 CO_2 处理。

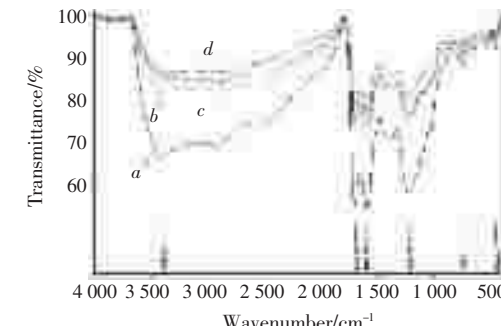
胡敏酸标样红外图见图 3(a)，主要基团的红外吸收带归属见表 2。

表 2 腐殖质中主要基团的红外吸收带^[11]

Table 2 Infrared absorption band of main function groups of humus

吸收带/ cm^{-1}	3 395~3 385	2 900	1 720	1 610	1 230
基团	O-H C-H	脂族 C=O	羧基 C=C	伸缩芳族 C=C	羧基 C-O 伸缩 和 OH 变形

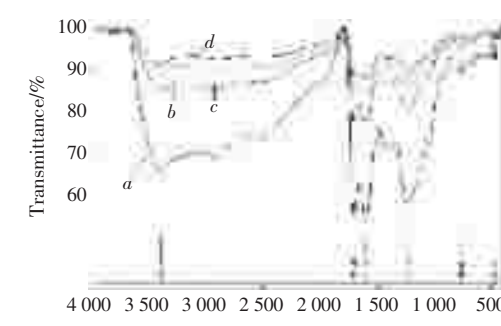
图 3、图 4、图 5 为胡敏酸与金属离子 Pb^{2+} 、 Cd^{2+} 、 Cu^{2+} 作用后的红外光谱与胡敏酸标样的比较。由图可见，反应前后红外光谱图的基本形状是相同的，说明主要有机官能团没有发生质的变化，但吸收峰的强度都较标样为弱。3 395~3 385 对应胡敏酸所含各类羟基，1 720、1 610 对应羧基中的 C=O，胡敏酸与 Pb^{2+} 、 Cd^{2+} 、 Cu^{2+} 反应后相应吸收峰强度明显降低，预示胡敏酸中酚羟基、羧基均参与了配位反应。并且吸收峰强度呈现随离子浓度增加而减弱的趋势，反应强度与金属离子的加入量呈正相关关系。



a—AH 标样；b— $50 \text{ mg}\cdot\text{L}^{-1}$ ；c— $500 \text{ mg}\cdot\text{L}^{-1}$ ；d— $1000 \text{ mg}\cdot\text{L}^{-1} \text{ Pb}^{2+}$

图 3 胡敏酸与不同浓度 Pb^{2+} 吸附后红外光谱图

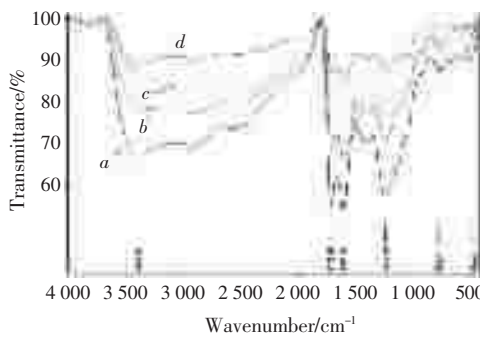
Figure 3 FTIR spectrogram of humic acid after absorbing Pb^{2+}



a—AH 标样；b— $20 \text{ mg}\cdot\text{L}^{-1}$ ；c— $100 \text{ mg}\cdot\text{L}^{-1}$ ；d— $160 \text{ mg}\cdot\text{L}^{-1} \text{ Cd}^{2+}$

图 4 胡敏酸与不同浓度 Cd^{2+} 吸附后红外光谱图

Figure 4 FTIR spectrogram of humic acid after absorbing Cd^{2+}



a—AH 标样;b— $50 \text{ mg}\cdot\text{L}^{-1}$;c— $800 \text{ mg}\cdot\text{L}^{-1}$;d— $1000 \text{ mg}\cdot\text{L}^{-1} \text{ Cu}^{2+}$

图 5 胡敏酸与不同浓度 Cu^{2+} 吸附后红外光谱图

Figure 5 FTIR spectrogram of humic acid after absorbing Cu^{2+}

有研究报道,金属离子与腐植酸的配位作用一般发生在羧基和酚羟基、羧基和羧基之间^[9,15],仔细比较图 3、图 4 和图 5,发现 Pb^{2+} 、 Cd^{2+} 与 HA 的结合点较多地在羧基和酚羟基之间。不同的是,图 5 显示,加入的 Cu^{2+} 浓度不同时(50 、 800 、 $1000 \text{ mg}\cdot\text{L}^{-1}$),三者的红外图与标样相比有较大的差异,胡敏酸与 Cu^{2+} 反应之后,羟基峰、羧基的 $\text{C}=\text{O}$ 、 $\text{C}-\text{O}$ 基团和芳环 $\text{C}=\text{C}$ 均有较明显的改变,尤其是 1720 对应的羧基 $\text{C}=\text{O}$,随 Cu^{2+} 浓度的增加,吸收强度减弱明显。说明 Cu^{2+} 与 HA 的螯合反应不仅发生在羧基和酚羟基之间,而且还更多地发生在芳环上的羧基与羧基之间。

3 结论

(1)胡敏酸对重金属离子具有强烈的吸附作用,对 Pb^{2+} 、 Cd^{2+} 、 Cu^{2+} 的吸附量随着离子浓度的增加而增高,离子浓度较低时吸附等温线的斜率较大,曲线急剧上升,表明吸附量随浓度增加较快,随着离子浓度的增大,吸附曲线逐渐变得平缓并趋于稳定。在相同初始浓度下,胡敏酸对 Cu^{2+} 的吸附强度要大于对 Pb^{2+} 的吸附,明显大于对 Cd^{2+} 的。吸附强度顺序为 $\text{Cu}^{2+} > \text{Pb}^{2+} > \text{Cd}^{2+}$ 。相应金属离子初始浓度等于 $500 \text{ mg}\cdot\text{L}^{-1}$,胡敏酸对 Cu^{2+} 的吸附量是对 Pb^{2+} 的 1.4 倍、对 Cd^{2+} 的 3.2 倍。这是因为胡敏酸提供给 Cu^{2+} 的吸附点位更多。

(2)实验结果用 Langmuir、Freundlich 和 Temkin 吸附模型进行拟合,3 个模型对 Pb^{2+} 、 Cd^{2+} 的吸附均呈显著关系,但其中 Freundlich 方程为最佳拟合方程,相关系数分别为 0.994 9、0.973 6;对 Cu^{2+} 的吸附,Langmuir 等温式拟合程度最高,相关系数 0.998 4, Freundlich 方程其次,Temkin 方程则不适合。

(3)胡敏酸对 Pb^{2+} 的吸附与 pH 的相关性较小,而对 Cd^{2+} 和 Cu^{2+} 的吸附率都随 pH 值增加而增加。pH

值对 Cd^{2+} 吸附的影响分为两个区间:在 $\text{pH}<4$ 的情况下胡敏酸对 Cd^{2+} 的吸附率随 pH 增加而显著上升,而在 $\text{pH}>4$ 时胡敏酸对 Cd^{2+} 的吸附率逐渐稳定接近饱和,曲线呈上凸型。胡敏酸对 Cu^{2+} 的吸附,pH 值也是主要影响因素,当 pH 值范围大致位于 2.3~6.0 之间时,吸附率随 pH 值的增加上升;当 pH 值大于 6.0 时, Cu^{2+} 的吸附量接近饱和值,曲线呈 S 型。总体上低 pH 值均不利于吸附剂对重金属离子的吸附,随着 pH 值的增加,不论吸附量还是吸附率都呈上升趋势。

(4)根据金属离子与胡敏酸反应前后的红外光谱表征,胡敏酸中酚羟基、羧基均参与了与金属离子的配位反应,吸收峰强度呈现随离子浓度增加而减弱的趋势。根据图示可推测胡敏酸与 Pb^{2+} 、 Cd^{2+} 的结合点较多发生在羧基和酚羟基之间;而胡敏酸与 Cu^{2+} 的反应则不仅发生在羧基和酚羟基之间,而且还更多地发生在芳环上的羧基与羧基之间。

参考文献:

- [1] 文启孝. 土壤有机质研究法[M]. 北京:农业出版社, 1982. 234~247.
WEN Qi-xiao. Research method of soil organic substance[M]. Beijing: Agriculture Publishing House, 1982. 234~247.
- [2] F J 斯帝文森(美)著,夏荣基译. 腐殖质化学[M]. 北京:北京农业大学出版社, 1994. 164~172.
F J Stevenson, XIA Rong-ji, Trans. Humus chemistry:genesis, composition, reactions[M]. Beijing:Beijing Agricultural University Publishing House, 1994. 164~172.
- [3] 朱丽珺, 张金池, 宰德欣, 等. 腐殖质对重金属 Cu^{2+} 、 Pb^{2+} 的吸附特性[J]. 南京林业大学学报(自然科学版), 2007, 31(4):73~76.
ZHU Li-jun, ZHANG Jin-chi, ZAI De-xin, et al. Study on the adsorption of heavy metal Cu^{2+} 、 Pb^{2+} by humus[J]. Journal of Nanjing Forestry University(Natural Sciences Edition), 2007, 31(4):73~76.
- [4] Kodama H, Schnitzer M. Kinetics and mechanism of the thermal decomposition of fulvic acid[J]. Soil Sci, 1970, 109(5):265~271.
- [5] 李光林, 魏世强, 等. 土壤胡敏酸对 Pb 的吸附特征与影响因素[J]. 农业环境科学学报, 2004, 23(2):308~312.
LI Guang-lin, WEI Shi-qiang, et al. Adsorptive characteristics and influence factors of humic acid on lead in soil[J]. Journal of Agro-Environment Science, 2004, 23(2):308~312.
- [6] 余贵芬, 蒋新, 等. 镉铅在粘土上的吸附及受腐植酸的影响[J]. 环境科学, 2002, 23(5):109~112.
YU Gui-fen, JIANG Xin, et al. Adsorption of Cd and Pb on clays and the influence of humic acids[J]. Environmental Science, 2002, 23(5):109~112.
- [7] 杨亚提, 张一平, 白锦麟, 等. 土壤胡敏酸与铜离子络合反应及吸附过程热力学特征的研究[J]. 土壤学报, 1997, 34(4):375~380.
YANG Ya-ti, ZHANG Yi-ping, BAI Jin-lin, et al. Study on thermodynamic characteristics of complexation and adsorption of copper ion by different soil humic acids[J]. Acta Pedologica Sinica, 1997, 34(4):

375–380.

[8] 吕福荣, 刘 艳. 腐殖酸对钴、镉作用的研究[J]. 大连大学学报, 2002, 23(4):63–67.

LU Fu-rong, LIU Yan. Study on adsorption of Co^{2+} , Cd^{2+} on humic acid[J]. *Journal of Dalian University*, 2002, 23(4):63–67.

[9] 王丹丽, 关子川, 王恩德. 腐殖质对重金属离子的吸附作用[J]. 黄金, 2003, 1(1):47–49.

WANG Dan-li, GUAN Zi-chuan, WANG En-de. Adsorption of heavy metal ions onto humus[J]. *Gold*, 2003, 1(1):47–49.

[10] 李光林, 等. 镉在胡敏酸上的吸附动力学和热力学研究[J]. 土壤学报, 2004, 41(1):74–79.

LI Guang-lin, et al. Kinetics and thermodynamics of cadmium adsorption on humic acid[J]. *Acta Pedologica Sinica*, 2004, 41(1):74–79.

[11] MatisK A, Zoulis A. Sorption of as by goethite particles and study of their flocculation[J]. *Water Air and Soil Pollution*, 1998, 104 (8):33–45.

[12] 吴景贵, 席时权, 姜 岩. 土壤腐殖质的分析化学进展[J]. 分析化学, 1997(10):1221–1227.

WU Jing-gui, XI Shi-quan, JIANG Yan. Research progress of soil humic substances in analytical chemistry[J]. *Chinese Journal of Analytical Chemistry*, 1997(10):1221–1227.

[13] Celi L, M Schnirzer, M Negre. Analysis of carboxyl groups in soil humic acids by a wet chemical method, fourier transform infrared spectrophotometry, and solution state carbon 13 nuclear magnetic resonance[J]. *Soil Sci*, 1997(162):189–197.

[14] Chen Y, Schitzer M. Information provided on humic substances by E₆/E₆ ration[J]. *Soil Science Society of America Journal*, 1997(41):352–358.

[15] Miguel A S' anchez-Monedero, Juan Cegarra, Diego Garc' ia, et al. Chemical and structural evolution of humic acids during organic waste composting[J]. *Biodegradation*, 2002(13):361–371.